

# 심장풀스캔에서 방사능 계측법에 의한 좌심실 용적의 측정 —조직 감쇄의 보정에 의한 연구—

서울대학교 의과대학 내과학교실

범희승 · 정준기 · 이명철 · 조보연 · 고창순

전남대학교 의과대학 핵의학실

김지열

## = Abstract =

### Left Ventricular Volume Measurement by Count Method with Attenuation Correction in Gated Blood Pool scan

Hee-Seung Bom, M.D., June-Key Chung, M.D., Myung Chul Lee, M.D.  
Bo Youn Cho, M.D. and Chang-Soon Koh, M.D.

*Department of Internal Medicine, College of Medicine, Seoul National University*

Ji Yeul Kim, Ph.D.

*Department of Nuclear Medicine, Chonnam University Medical School*

Attenuated end-diastolic and end-systolic left ventricular counts which obtained from cardiac gated blood pool scan were corrected using experimentally calculated attenuation coefficient ( $\mu=0.13/cm$ ) and depth of center of left ventricle. This method was confirmed to be correct experimentally using phantom balloon.

To compare the accuracy of attenuated and attenuation-corrected left ventricular volume measurement, authors studied 10 patients with ischemic heart disease who underwent both gated blood pool scan and X-ray contrast ventriculography within a week. The attenuated and attenuation-corrected left ventricular volume measured by count method correlated with contrast ventriculographic volumes; however, attenuation corrected measurement was correlated more closely.

## 서 론

심장풀스캔은 생리적인 상태에서 좌심실의 기능을 살펴볼 수 있기 때문에 비관절적인 진단방법으로 그 가치가 인정되고 있으나<sup>1)</sup> 좌심실용적을 정확하게 측정할 수 있다면 심박출량, 압력-용적곡선 등 기능적인 진단의 범위가 더욱 넓어질 수 있을 것이다.

이 논문은 1987년도 서울대학교병원 임상연구비의 보조로 이루어진 것임.

좌심실용적의 측정에 있어 기하학적 방법보다 계수법이 선호되고 있으며<sup>2)</sup> 최근 조직감쇄를 보정함으로써 더욱 정확한 측정이 가능하다고 보고되고 있으나<sup>3)</sup> 저자들은 조직감쇄계수 및 좌심실 중심에서 체표면까지의 거리를 계산하는 방법에 이견이 많은 실정이다<sup>4)</sup>. 저자들은 체외실험을 통하여 조직감쇄계수를 결정하고 환자 각각에서 삼각함수법을 이용하여 좌심실중심으로 깊이를 구함으로써 좌심실용적을 계산하였으며, 이를 감쇄보정을 하지 않고 계산한 좌심실용적 및 심조영술로 얻은 좌심실용적과 비교하여 보았다.

## 대상 및 방법

### 1. 체외실험

#### 1) 조직감쇄계수( $\mu$ )의 결정

다목적 평행 collimator를 부착한 Ohio Nuclear Sigma 420 카메라를 수직으로 세우고  $20 \times 30 \times 15$  cm 크기의 합성수지 용기를 collimator에 밀착시킨 후 물을 채웠다(Fig. 1). 심장풀스캔을 시행한 20명의 환자에서 5 ml의 혈액을 채취하여 ACD용액을 함유한 시험관에 담고 밀봉한 후 이를 카메라로부터 4 cm에서 20 cm까지 4 cm 간격으로 각각 30초씩 촬영하고 이를 카메라에 연결된 DEC사의 PDP 11/34 컴퓨터에 수록하였다. 촬영이 끝난 후 각각의 화면에서 automatic edge detection program에 의해 시험관의 관심구역을 설정하고 background를 보정한 계수치를 얻었다. 각각의 계수치를  $\ln \frac{Cd}{Co} = -\mu d$  식에 의해 회귀분석하여 감쇄계수( $\mu$ )를 구하였다(Cd : 거리 d에서의 계수치, Co : 거리 0에서의 계수치).

#### 2) 풍선 phantom을 이용한 실험 계측치와

##### 실측치의 비교

전술한 방법대로 카메라 앞에 물을 채운 용기를 위치시키고 카메라로부터 7 cm 거리에 풍선을 위치시킨 후  $3.0 \mu\text{Ci}/\text{ml}$ ,  $3.5 \mu\text{Ci}/\text{ml}$ ,  $4.0 \mu\text{Ci}/\text{ml}$ ,  $4.5 \mu\text{Ci}/\text{ml}$ ,  $5.0 \mu\text{Ci}/\text{ml}$ 의  $^{99m}\text{TcO}_4$ 를 주입하면서 촬영하였다. 25 ml 간격으로 400 ml 까지 주입하면서 각각 60초씩 촬영한 후 풍선에서 5 ml의  $^{99m}\text{TcO}_4$  용액을 빼어내어 역시 60초간

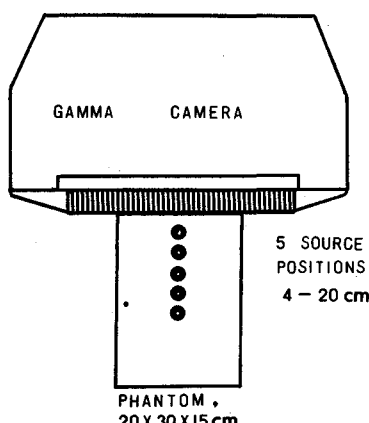


Fig. 1. Phantom configuration used for measurement of attenuation coefficient.

촬영하였고 이 데이터를 카메라에 연결된 PDP 11/34 컴퓨터에 수록하였다. 각각의 화면에서 풍선 및 시험관의 관심구역은 automatic edge detection program에 의해 설정하였으며 background를 교정한 계수치를 얻어 다음 식에 의해 용적을 계산하였다.

$$\text{Volume} = \frac{\text{Balloon count rate}}{\text{Sample count rate} \times e^{-\mu d}}$$

이렇게 얻은 용적을 실제용적과 비교하였으며 5가지 농도의  $^{99m}\text{TcO}_4$  용액으로 실험한 값들이 서로 일치하는지는 계산된 용적의 증가분을 F-test에 의해 검정하였다.

### 2. 체내실험

#### 1) 대상

심장풀스캔 및 좌심실조영술을 1주일이내에 시행한 허혈성 심질환자 10예를 대상으로 하였다. 10예 중 single vessel disease가 7예, two vessel disease가 2예, 그리고 three vessel disease가 1예였다.

#### 2) 좌실실조영술에서 용적의 측정

RAO  $30^\circ$ 로 얻은 좌심실조영상에서 확장기 말 및 수축기 말의 좌심실용적을 Fig. 2에서와 같이 구하였다.

#### 3) 심장풀스캔에서 좌심실용적의 측정

ON 420 카메라를 LAO  $45^\circ$ 로 위치시키고 심박동 400 cycle 동안 영상을 얻었다. 촬영이 끝난 후 환자로부터 5 ml의 혈액을 채취하여 ACD용액으로 처리한 시험관에 담아 60초동안 촬영하였다. 이 데이터는 카메라에 연결된 PDP 11/34 컴퓨터에 수록한 후 분석하였는데 체외실험에서와 동일한 방법으로 좌심실 및 시험관의 계수치를 얻었으며 이들은 시간에 따라 보정하였다.

체표면에서 좌심실 중심까지의 거리는 Fig. 3에 도시한 방법대로 구하였다.

좌심실용적의 측정은 이상의 데이터를 가지고 다음 공

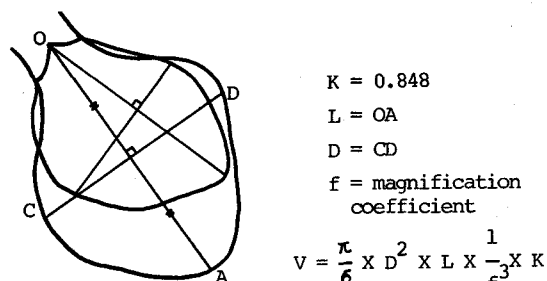


Fig. 2. Measurement of left ventricular volume in a RAO  $30^\circ$  image of X-ray contrast ventriculography.

식에 의해 계산하였다.

$$LV \text{ volume} = \frac{LV \text{ count rate}}{\text{Sample count rate} \times e^{-\mu d}} \dots\dots (1)$$

$$LV \text{ volume} = \frac{LV \text{ count rate}}{\text{Sample count rate}} \dots\dots (2)$$

여기에서 (1)식은 조직감쇄를 보정한 계산식이고 (2)식은 조직감쇄를 무시한 계산식이다.

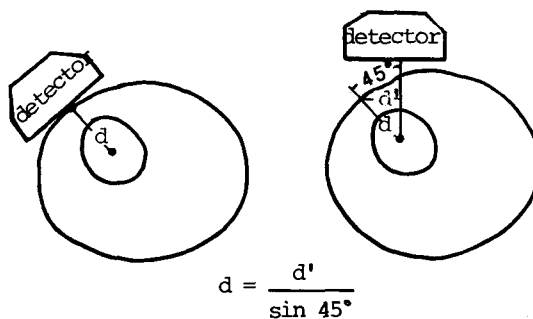


Fig. 3. Schematic demonstration of used method of measurement of depth of left ventricular center.

## 결과

### 1. 체외실험

20회의 실험에서 계산된 감쇄계수( $\mu$ )는  $0.13 \pm 0.01 \text{ cm}^{-1}$ 이었고,  $d=7 \text{ cm}$ 으로 정하고 계수법으로 측정한 용적 및 실제용적사이에는  $r=0.99$ 의 상관관계가 있었으며 ( $p<0.01$ ),  $^{99m}\text{TcO}_4$  용액의 방사능을 바꾸어 측정한 5회의 측정치간에 유의한 차이는 없었다( $p>0.1$ ) (Table 1).

### 2. 체내실험

10명의 환자에서 좌심실중심의 깊이는  $6.3 \pm 0.6 \text{ cm}$ 이었으며 5.1 cm부터 7.2 cm사이의 분포를 보이고 있었다.

조직감쇄를 보정하여 구한 좌심실용적과 좌심실조영술에서 얻은 좌심실용적과는  $r=0.86$ , SEE=39 ml의 상관관계를 보였으며, 조직감쇄를 무시하고 구한 좌심실용적과 좌심실조영술에서 얻은 좌심실용적과는  $r=0.89$ ,

Table 1. Correlation between the True Volume and the Calculated Volume by Count Method Experimentally using Balloon-phantom

True volume (ml)	Calculated volume (ml)				
	3.0 uCi/ml	3.5 uCi/ml	4.0 uCi/ml	4.5 uCi/ml	5.0 uCi/ml*
25	24	25.5	24.7	23.8	25.8
50	45.5	50	50.5	49.2	51.2
75	73	75.5	74.5	73.7	76.8
100	99	99	99.2	97.2	101.2
125	124.5	126	125.5	122	125.8
150	150.8	150	149.7	147.5	150.2
175	173.2	174	175	171.3	174.8
200	198.8	199	198.2	196	199.5
225	219.2	223	224	221.3	224
250	245.5	247	246.7	241.8	244
275	271.2	273	274	270.5	273.2
300	295.8	295	296.2	295.2	297
325	321	320	322	320.8	321.2
350	341.2	345	344.5	341	346.8
375	370	369	371.2	368.8	369.8
400	390	392	391.7	391.8	394
R **	0.99	0.99	0.99	0.99	0.99

\* Activities of  $^{99m}\text{TcO}_4$  in the solution used in the experiment

\*\* R = Correlation coefficient

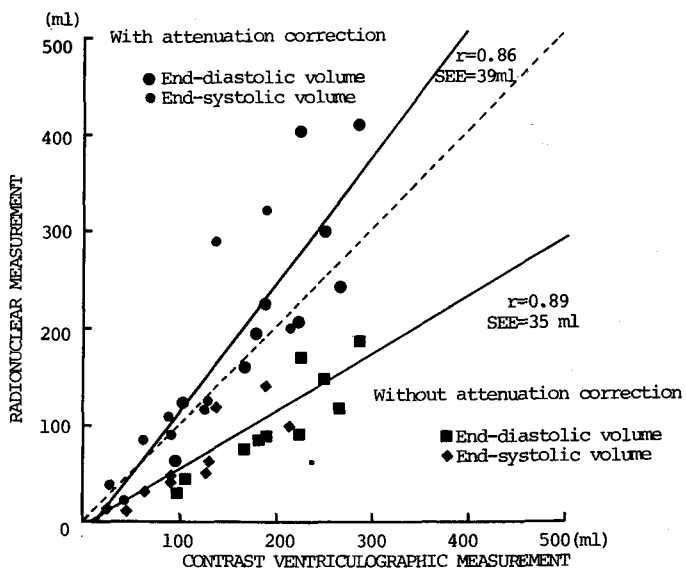


Fig. 4. Correlation between left ventricular volumes measured by contrast ventriculography and radionuclide gated blood pool scan with or without attenuation correction.

SEE=36 ml의 상관관계를 보였는데 좌심실조영술에 비해 조직감쇄 보정을 한 경우는 좀 더 높게 그리고 조직감쇄보정을 하지 않은 경우는 더 낮게 계산되는 양상을 보였지만 조직감쇄를 한 경우가 좌심실조영술로 구한 용적과 더 일치하고 있었다(Fig. 4).

#### 고 안

최근 심장풀스캔을 이용하여 비판별적으로 좌심실용적을 구하고자 하는 노력이 계속되어 그 방법의 개선이 이루어지고 있다<sup>2~6)</sup>. 좌심실용적을 계산하는데 면적을 이용한 방법은 핵영상이 가지는 저해상력이라는 기본적인 단점이 있어 계수법보다 못함은 Massie 등<sup>2)</sup>에 의해 보고되었고, 계수법에 있어서도 조직감쇄를 보정하였을 때 더욱 정확한 용적을 구할 수 있음이 Starling 등<sup>3)</sup>에 의해 보고되었는 바 본 연구에서도 이 점을 확인되었다 할 수 있다.

조직감쇄계수는 Links 등<sup>7)</sup>이 이론적인 감쇄계수  $0.15 \text{ cm}^{-1}$ , Keller 등은  $0.12 \text{ cm}^{-1}$ 를 제시하고 있어 차이는 보인다. 그렇지만 실험적으로 감쇄계수를 결정하는데는 실험실마다 조건이 다를 것이므로 각 실험실마다의 값을 정해야 할 것이다. 본 연구에서는 환자의 혈액을 채취하

여 ACD용액으로 처리한 혈액으로 감쇄계수를 결정하였는 바  $0.13 \text{ cm}^{-1}$ 이었다.

한편 조직감쇄는 조직감쇄계수 뿐 아니라 좌심실의 깊이도 큰 영향을 미치므로 그 거리를 측정하는 방법도 문제가 되나 이는 Fig. 2에 표시한 대로 쉽게 측정이 가능하다. 본 연구의 대상환자 10예에서 2명의 관측자가 각각 거리는 측정하였으나 그 차이는  $0.4 \text{ cm}$ 이었으므로 비록 독립적으로 그 정확성을 검정한 것은 아니지만 거리의 측정은 재현성이 있다고 판단된다.

좌심실조영술에서 용적을 측정할 때는 biplane으로 측영을 해야 정확한 값을 얻을 수 있으나 Sandler 등<sup>9)</sup>은 single plane에서도 비교적 정확한 값을 얻을 수 있다고 하였다. 본 연구의 대상환자는 모두 RAO 30°상만을 얻었으므로 single plane의 화상만으로 용적을 구하였다.

본 연구에서 심장풀스캔과 좌심실조영술로 얻은 좌심실용적은 대체로 잘 일치하고 있으나 2명의 환자에서 훨씬 큰 값을 보이고 있었다. 이 환자들은 심장풀스캔 당시 울혈성심부전증 상태에 있었으며 이로부터 5일, 7일 간의 약물요법 후 좌심실조영술 및 관상동맥조영술은 시행하였고 Ejection Fraction이 심장풀스캔 당시는 21.5%, 29.5%였으나 좌심실조영술 당시는 34.2%, 38.4%로 호전된 점으로 보아 그동안의 약물요법으로 심부전이

호전되어 좌심실용적이 감소되었던 것으로 사료된다.

이상의 결과로 보아 심장풀스캔을 하면서 조직감쇄를 보정한 계수법에 의해 좌심실용적을 정확히 구할 수 있으므로 이를 이용한 좌심실 기능의 평가에 도움이 될 수 있으리라 기대된다.

## 결 론

심장풀스캔을 이용하여 좌심실용적을 구함에 있어 조직감쇄를 보정하기 위하여 실험적으로 감쇄계수를 구하고 삼각함수법에 의하여 체표면에서 좌심실중심까지의 거리를 구하여 체외계측법으로 좌심실용적을 계산하였다.

실험적으로 구한 감쇄계수는  $0.13 \pm 0.01 \text{ cm}^{-1}$  이었고 이를 이용해서 풍선 phantom의 용적을 계측법으로 산출한 결과 실제용적과  $r=0.99$ 의 좋은 상관관계를 보였다.

조직감쇄보정의 의의를 알아보기 위해 10명의 혀혈성 심질환자에서 심장풀스캔을 이용하여 좌심실용적을 구하였다. 이들의 좌심실중심의 깊이는  $6.3 \pm 0.6 \text{ cm}$  이었으며 좌심실조영술에서 얻은 좌심실용적과는 감쇄보정을 한 경우  $r=0.86$ , SEE=39 ml, 감쇄보정을 하지 않은 경우  $r=0.89$ , SEE=36 ml의 상관관계를 보였으나 감쇄보정을 한 경우 좌심실 조영술에 더욱 근사한 값을 얻을 수 있었다.

## REFERENCES

- Schad N: Nontraumatic assessment of left ventri-

cular wall motion and regional stroke volume after myocardial infarction. *J Nucl Med* 18:33, 1979

- Massie BM, Kramer BL, Gertz EW, et al: Radionuclide measurement of left ventricular volume: Comparison of geometric and count-based methods. *Circulation* 65:725, 1982
- Starling MR, Dell' Italia LF, Nusynowitz ML, et al: Estimates of left-ventricular volumes by equilibrium radionuclide angiography: Importance of attenuation correction. *J Nucl Med* 25:14, 1984
- Fearnow III EC, Stanfield JA, Jaszcak RJ, et al: Factors affecting ventricular volumes determined by a count-based equilibrium method. *J Nucl Med* 26: 1,042, 1985
- Nickel O, Schad N, Andrews Jr EJ, et al: Scintigraphic measurement of left ventricular volumes from the count-density distribution. *J Nucl Med* 23:404, 1982
- Keller AM, Simon TR, Smitherman TC, et al: Direct determination of the attenuation coefficient for radionuclide volume measurements. *J Nucl Med* 28:102, 1987
- Links JM, Becker LC, Shindledecker JG, et al: Measurement of absolute ventricular volume from gated blood pool studies. *Circulation* 65:82, 1982
- Schneider RM, Jaszcak RJ, Coleman RE, et al: Disproportionate effects of regional hypokinesis on radionuclide ejection fraction: Compensation using attenuation-corrected ventricular volumes. *J Nucl Med* 25:747, 1984
- Sandler H, Dodge H: The use of single plane angiograms for the calculation of left ventricular volume in man. *Am Heart J* 75:325, 1968